

ОБЪЕДИНЕННЫЙ
ИНСТИТУТ
ЯДЕРНЫХ
ИССЛЕДОВАНИЙ

ДУБНА



PI - 9145

H-501

3/4-7

Л.Л. Неменов

4249/2-75

ОСЦИЛЛЯЦИИ ИНТЕНСИВНОСТИ
В ПУЧКАХ РЕЛЯТИВИСТСКИХ ПОЗИТРОНИЕВ
И ИХ ПРИМЕНЕНИЕ ДЛЯ ПРОВЕРКИ
СПЕЦИАЛЬНОЙ ТЕОРИИ ОТНОСИТЕЛЬНОСТИ

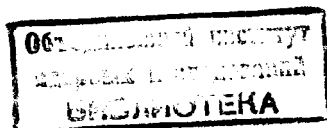
1975

Р1 - 9145

Л.Л.Неменов

ОСЦИЛЛЯЦИИ ИНТЕНСИВНОСТИ
В ПУЧКАХ РЕЛЯТИВИСТСКИХ ПОЗИТРОНИЕВ
И ИХ ПРИМЕНЕНИЕ ДЛЯ ПРОВЕРКИ
СПЕЦИАЛЬНОЙ ТЕОРИИ ОТНОСИТЕЛЬНОСТИ

Направлено в ЯФ



Введение

В работах /1,2/ были рассмотрены распады элементарных частиц, сопровождающиеся испусканием связанных состояний. Этот класс процессов получил название атомных распадов, а связанные состояния обозначены символом A_{2f} , если атом образован частицей f и античастицей, или A_{kf} , если частицы разные. В последнем случае для однозначного описания зарядового состояния на месте индекса k пишется символ положительно заряженной частицы. Такие распады, как

$$\pi^0 \rightarrow \gamma + A_{2e}, \quad (1)$$

$$\eta^0 \rightarrow \gamma + A_{2e}, \quad (2)$$

$$K_L^0 \rightarrow \bar{\nu} + A_{\pi\mu}, \quad (3)$$

$$K_L^0 \rightarrow \nu + A_{\mu\pi}.$$

являются источником релятивистских позитрониев (A_{2e}) и атомов, образованных пионом и мюоном.

В работе /1/ было обращено внимание на возможность определения времени жизни нейтрального пиона модельно-независимым способом, измеряя отношение числа позитрониев к числу фотонов, испущенных в один и тот же телесный угол.

В настоящей работе отмечается, что пучок релятивистских позитрониев позволяет осуществить экспериментальную проверку специальной теории относительности при значениях гамма-факторов $10^3 + 10^4$ с относительной точностью $\sim 10^{-4}$. Такая проверка оказывается возможной вследствие осцилляции интенсивности пучка релятивистских

позитрониев при его движении в магнитных полях, имеющих простую конфигурацию.

В первой части работы описываются основные характеристики позитрониев, испущенных в распадах (1), (2), и принципиальная схема формирования и детектирования пучка релятивистских A_{2e} , оценивается точность определения гамма-факторов позитрониев по эффекту развала атома магнитным полем, а также точность проверки соотношения между импульсом частицы и величиной ее гамма-фактора. Во второй части рассмотрены уравнения, описывающие движение пучка A_{2e} в однородном магнитном поле, получена зависимость интенсивности пучка от различных параметров и сделана оценка точности, с которой методом осцилляций могут быть проверены преобразования специальной теории относительности для времени и компонент электромагнитного поля.

I

§1. Основные характеристики позитрония, испускаемого при атомном распаде нейтрального пиона /1/

Отношение вероятности распада (1) или (2) к распаду мезона на два фотона равно:

$$\rho = \frac{W_{\text{атомн.}}}{W_{\gamma\gamma}} = 1,70 \cdot 10^{-9} \quad (4)$$

Точность приведенного значения составляет примерно 1%, так как при его вычислении пренебрегалось средним импульсом частицы в атоме по отношению к ее массе покоя и радиационными поправками. Вследствие того, что вероятность атомного распада пропорциональна квадрату волновой функции атома на малых расстояниях, орбитальный момент позитрония L равен нулю.

Число A_{2e} в состоянии с $L=1$ составляет $\sim 10^{-4}$ от количества позитрониев с $L=0$.

Зарядовая четность позитрония равна $C = (-1)^{L+S}$ и должна совпадать с зарядовой четностью виртуального фотона (рис. 1а).

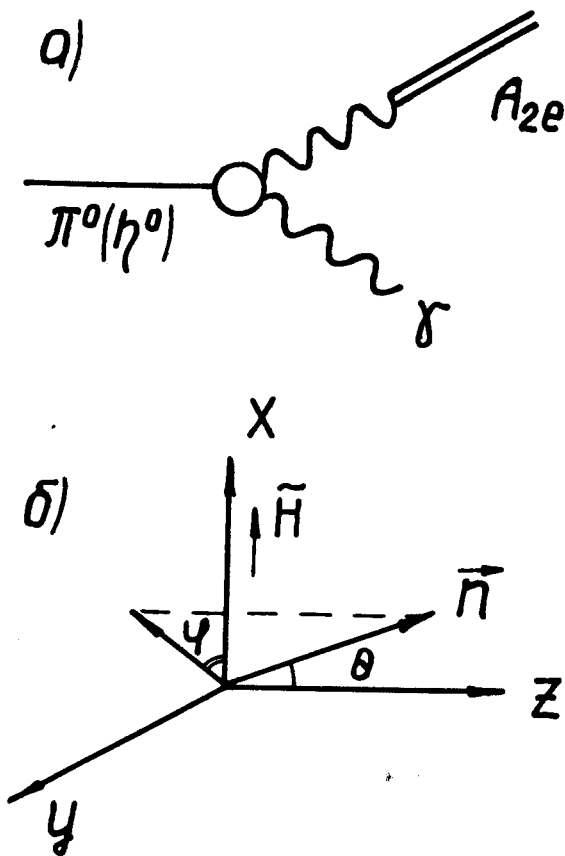


Рис. 1. Диаграмма Фейнмана, описывающая атомный распад нейтрального мезона на фотон и позитроний.

Поэтому спин A_{2e} равен единице. Главное квантовое число n может принимать все значения. Вероятность обнаружения позитрония с квантовым числом n обратно пропорциональна n^3 . Поэтому основная часть атомов имеет значения $n \leq 4$. Так как позитроний испускается совместно с реальным фотоном, а спин пиона равен нулю, то проекция спина позитрония на его импульс в системе покоя пиона может быть равна $+1$ или -1 ; проекция ноль запрещена. При переходе в систему покоя A_{2e} импульс пиона, от распада которого возник позитроний, является тем направлением, на которое атом имеет определенную проекцию спина.

Время жизни позитрония в триплетном состоянии с главным квантовым числом n равно $1,4 \cdot 10^{-7} n^3$ с. Так как на ускорителях высокой энергии генерируются пионы с большими импульсами, то позитронии, возникающие при атомных распадах, обладают гамма-факторами $\sim 10^3$ и распадаются в лабораторной системе на длине ~ 42 километра.

При прохождении через вещество релятивистский позитроний, взаимодействуя с кулоновским полем ядер и электронов, может разваливаться, переходить из триплетного состояния в синглетное и возбуждаться. Все эти процессы приводят к ослаблению пучка A_{2e} и изменению квантовых чисел атомов.

§2. Схема формирования и детектирования пучка релятивистских позитрониев

Для формирования пучка позитрониев в вакуумной камере циклического ускорителя должна быть установлена мишень толщиной от одного до нескольких микрон. Релятивистские позитронии, возникшие от распадов нейтральных мезонов в вакууме и в материале мишени, должны выводиться из камеры ускорителя по специальному каналу. Для того чтобы не ослаблять пучок позитрониев, между каналом и камерой ускорителя не должно быть перегородок, а вакуум в канале должен поддерживаться на уровне 10^{-6} . Ослабление пучка позитрониев на длине 100 метров при таком вакууме равно: $\Delta J / J \sim 0,1\%$.

Вдоль канала создается слабое магнитное поле, которое, не разрушая позитрония, отклоняет заряженные частицы с импульсами, лежащими в интервале от 0 до P_{\max} .

Если длина канала 40 метров, а магнитное поле имеет напряженность 30 Э, то заряженные частицы с импульсом $P = 3 \text{ ГэВ/с}$ отклоняются на расстояние 20 см. Выделение атомов позитрония на фоне потока γ -квантов, который превышает интенсивность A_{2e} почти на 10 порядков, возможно с помощью развала позитрония в сильном магнитном поле $^{1/3}$. Для этого канал должен заканчиваться вакуумной камерой, помещенной в зазор магнита, поле которого разваливает позитроний. Образовавшиеся электрон и позитрон отклоняются магнитным полем и выводятся из пучка. Электрон и позитрон, возникшие от развала позитрония, имеют четыре характерных признака, по которым можно установить источник их происхождения:

- 1) одновременность возникновения,
- 2) равенство энергий,
- 3) одинаковое отклонение от горизонтальной плоскости,
- 4) локализацию области развала в пределах нескольких сантиметров.

§3. Определение гамма-факторов пучковых частиц по развалу в магнитном поле

Для позитрониев с импульсами 1 ГэВ справедливы с относительной точностью $5 \cdot 10^{-7}$ следующие соотношения:

$$\gamma = \frac{1}{\sqrt{1-\beta^2}} = \frac{P}{m}, \quad E = p, \quad 1-\beta = 0,5\gamma^{-2}, \quad (5)$$

$$\frac{\delta(1-\beta)}{1-\beta} = 2 \frac{\delta\gamma}{\gamma}, \quad (6)$$

где $\delta(1-\beta)$ и $\delta\gamma$ - ошибки определения соответствующих величин, а $\beta = v/c$. При развале A_{2e} в магнитном поле углы отклонения свободных электрона и позитрона от оси пучка тем больше, чем меньше гамма-фактор A_{2e} . Поэтому регистрация e^- и e^+ в определенных угловых интервалах от θ до $\theta + \Delta\theta$ означает детектирование продуктов диссоциации позитрониев с определенным значением гамма-факторов (от γ до $\gamma + \Delta\gamma$). Если увеличивать магнитное поле в головной части канала, то вследствие диссоциации A_{2e} с большими гамма-факторами (γ_0) интенсивность электронов и позитронов, возникающих от развала позитрониев с $\gamma = \gamma_0$ и появляющихся в соответствующих угловых интервалах, начнет уменьшаться. Изучая зависимость интенсивности электронов и позитронов, испущенных в угловом интервале от θ до $\theta + \Delta\theta$, от величины магнитного поля в головной части канала, можно определить гамма-фактор A_{2e} . Так как при фиксированном значении γ эта зависимость носит пороговый характер ^{/3/}, то значения γ могут быть определены с высокой точностью, если известно теоретическое выражение для вероятности ионизации атома электрическим полем.

Пусть релятивистский A_{2e} движется в лабораторной системе в положительном направлении вдоль оси z , а магнитное поле H_0 направлено по оси x . В системе покоя позитрония (СПП) возникнут магнитное и электрическое поля, векторы напряженности которых равны:

$$\tilde{H}_x = \gamma H_0, \quad \tilde{E}_y = \beta \gamma H_0$$

(везде используется правая система координат).

Магнитное поле приведет к расщеплению уровней, величина которого порядка энергии сверхтонкого расщепления ΔE , электрическое поле при достаточной напряженности ионизует A_{2e} . Вероятность ионизации атома, находящегося в основном состоянии, слабым электрическим полем была вычислена в работе ^{/4/}, для возбужденного атома - в работе ^{/5/}. Так как в дальнейшем все рассмотрение будет выполняться для A_{2e} , находящихся в основном состоянии, то для оценки точности определения гамма-фактора рассмотрим зависимость диссоциации позитрония при $n = 1$ ^{/4/}:

$$W(\gamma, H_0) = \frac{1,18 \cdot 10^7}{\gamma^2 H_0} e^{-\frac{2,8 \cdot 10^3}{\gamma H_0}} \text{ 1/см,} \quad (7)$$

где W - вероятность ионизации A_{2e} при прохождении 1 см в лабораторной системе; H_0 выражается в эрстедах, γ должна умножаться на 10^{-3} .

Формула справедлива при

$$\tilde{E} = \beta \gamma H_0 \ll 1, \quad (8)$$

если напряженность электрического поля выражать в атомных единицах Хартри. Практически значения E , необходимые для определения гамма-факторов, удовлетворяют (8), так как не превышают величины 10^{-2} .

Вероятность обнаружения позитрония после прохождения магнитного поля, приложенного на расстоянии S , равна:

$$\omega(S) = e^{-S W(H_0, \gamma)}. \quad (9)$$

Полагая, что ошибки измерения магнитного поля много меньше ошибок определения ω , для погрешности в значении γ -фактора получаем:

$$\frac{\delta\gamma}{\gamma} = \frac{\delta\omega}{\omega} \frac{1}{S W(\gamma, H_0) \left(\frac{2,8 \cdot 10^3}{\gamma H_0} - 2 \right)}. \quad (10)$$

Полагая $\omega = 0,5$, $L = 10^3$ см, $\gamma = 1$, получаем, что

$$\frac{\delta\gamma}{\gamma} = 8 \cdot 10^{-2} \frac{\delta\omega}{\omega}. \quad (11)$$

Так как ω фактически определяется интенсивностью позитрониев с определенным гамма-фактором, то характерная относительная ошибка этой величины равна 10^{-2} .

Пучки A_{2e} являются эффективным методом проверки специальной теории относительности при значениях относительных скоростей, близких к скорости света.

Из приведенных соотношений следует, что, благодаря атомной структуре частиц пучка, определение γ -фактора может быть осуществлено с точностью $\sim 0,1\%$. Изменяя по импульсам продуктов развала позитрония импульс A_{2e} , можно проверить соотношение

$$p = m \gamma \quad (12)$$

с точностью лучше процента при значениях гамма-факторов $10^3 + 10^4$.

II

§1. Основное уравнение, описывающее состояние позитрония

Обозначим спиновые волновые функции триплетного позитрония в состояниях с проекцией спина $+1, -1, 0$ и синглетного позитрония соответственно через

$$|1\rangle, |2\rangle, |3\rangle \quad \text{и} \quad |4\rangle. \quad (13)$$

В качестве оси квантования выберем направление внешнего магнитного поля в системе покоя позитрония (СПП). Вектор состояния атома в этой системе имеет вид

$$|\psi(t)\rangle = \sum_{\alpha=1}^4 |a\rangle a_{\alpha}(t), \quad (14)$$

где $a_{\alpha}(t)$ — амплитуды вероятности обнаружить A_{2e} в состоянии a . В начальный момент времени вектор состояния позитрония равен:

$$|\psi(0)\rangle = \sum_{\alpha=1}^4 |a\rangle a_{\alpha}(0). \quad (15)$$

В приближении Вайскопфа-Вигнера^{/6/} амплитуды $a_{\alpha}(t)$ удовлетворяют уравнению:

$$i \frac{\partial a(t)}{\partial t} = \kappa a(t), \quad (16)$$

где

$$a(t) = \begin{pmatrix} a_1(t) \\ a_4(t) \end{pmatrix}. \quad (17)$$

Для позитрония, находящегося в однородном магнитном поле, отличные от нуля матричные элементы оператора κ равны:

$$\begin{aligned} \kappa_{11} = \kappa_{22} = \kappa_{33} &= E_1 - \frac{i}{2} \Gamma_1, & \kappa_{44} &= E_0 - \frac{i}{2} \Gamma_0, \\ \kappa_{34} &= -\mu_0 g \tilde{H}, & \kappa_{43} &= -\mu_0 g \tilde{H}, \end{aligned} \quad (18)$$

где \tilde{H} — магнитное поле в системе покоя A_{2e} , Γ_1 (Γ_0) и E_1 (E_0) — полная вероятность распада и энергия позитрония в триплетном (синглетном) состоянии, μ_0 — магнетон Бора,

$$g = 2 \left(1 + \frac{\alpha}{2\pi} - 0,328 \frac{\alpha^2}{\pi^2} \right) = 2 \times 1,0011596^{/7/}.$$

Представляя $a(t)$ в виде

$$a(t) = e^{-i\lambda t} a(0),$$

из уравнения (16) сразу получаем:

$$\kappa a(0) = \lambda a(0). \quad (19)$$

Решая уравнение (19), имеем:

$$|\psi(t)\rangle = \sum_{i=1}^4 |\psi_i(t)\rangle, \quad (20)$$

где $|\psi_i(t)\rangle$ описывают состояния с определенными значениями энергии и равны

$$|\psi_1(t)\rangle = |1\rangle a_1(\lambda_1) e^{-i(E_1 - \frac{i}{2}\Gamma_1)t},$$

$$|\psi_2(t)\rangle = |2\rangle a_2(\lambda_2) e^{-i(E_1 - \frac{i}{2}\Gamma_1)t},$$

$$|\psi_3(t)\rangle = [|3\rangle - |4\rangle a(x)] a_3(\lambda_3) e^{-i(\epsilon_1 - \frac{i}{2}\Gamma_1)t}, \quad (21)$$

$$|\psi_4(t)\rangle = [|3\rangle + |4\rangle \times \frac{2 + a(x)x}{x}] a_3(\lambda_4) e^{-i(\epsilon_0 - \frac{i}{2}\Gamma_0)t},$$

где $x = \frac{2\mu_0 g\tilde{H}}{\Delta E}$, ΔE - энергия сверхтонкого расщепления синглетного и триплетного уровней в основном состоянии, $a(x) = \frac{\sqrt{1+x^2}-1}{x}$, ϵ_1 и ϵ_0 - энергии состояний, описываемых векторами $|\psi_3(t)\rangle$ и $|\psi_4(t)\rangle$:

$$\epsilon_1 = E_1 + \frac{1}{2}a(x)x\Delta E, \quad \epsilon_0 = E_0 - \frac{1}{2}a(x)x\Delta E, \quad (22)$$

а τ_1 и τ_0 - полные ширины этих же состояний:

$$\tau_1 = \frac{\Gamma_0(\sqrt{1+x^2}-1) + \Gamma_1(\sqrt{1+x^2}+1)}{2\sqrt{1+x^2}},$$

$$\tau_0 = \frac{\Gamma_0(\sqrt{1+x^2}+1) + \Gamma_1(\sqrt{1+x^2}-1)}{2\sqrt{1+x^2}}. \quad (23)$$

Постоянные $a_i(\lambda_i)$ определяются из условия нормировки (15). Если в начальный момент времени амплитуды вероятности обнаружить частицу пучка в состояниях $|3\rangle$ и $|4\rangle$ равны соответственно

$$a_3(0) = \rho_1 e^{i\phi_1}, \quad a_4(0) = \rho_0 e^{i\phi_0}, \quad (24)$$

то значения $a_3(\lambda_3)$ и $a_3(\lambda_4)$ запишутся в виде

$$a_3(\lambda_3) = \frac{1}{2} \frac{(2+a(x)x)\rho_1 e^{i\phi_1} - \rho_0 x e^{i\phi_0}}{1+a(x)x},$$

$$(25)$$

$$a_3(\lambda_4) = \frac{1}{2} \frac{(\rho_0 e^{i\phi_0} + a(x)\rho_1 e^{i\phi_1})x}{1+a(x)x}.$$

Для качественного анализа осцилляций полезны выражения, описывающие пучок при таких значениях \tilde{H} , для которых энергия взаимодействия магнитного момента с внешним полем становится много больше энергии сверхтонкого расщепления, т.е. при $x \gg 1$. В этом случае для параметров, характеризующих пучок, получаются следующие выражения:

$$a(x) = 1, \quad \tau_1 = \tau_0 = \frac{\Gamma_0}{2}, \quad \epsilon_1 - \epsilon_0 = x\Delta E, \quad (26)$$

$$a_3(\lambda_3) = \frac{1}{2}(\rho_1 e^{i\phi_1} - \rho_0 e^{i\phi_0}), \quad a_3(\lambda_4) = \frac{1}{2}(\rho_0 e^{i\phi_0} + \rho_1 e^{i\phi_1}).$$

Рассмотрим уравнение (21). Из него сразу получается выражение для амплитуд вероятности $A_1(t)$ и $A_0(t)$ обнаружить позитроний соответственно в состояниях $|3\rangle$ и $|4\rangle$:

$$A_1(t) = a_3(\lambda_3) e^{-i(\epsilon_1 - \frac{1}{2}\tau_1)t} + a_3(\lambda_4) e^{-i(\epsilon_0 - \frac{1}{2}\tau_0)t},$$

$$A_0(t) = -a(x)a_3(\lambda_3) e^{-i(\epsilon_1 - \frac{1}{2}\tau_1)t} + \frac{2+a(x)x}{x} a_3(\lambda_4) e^{-i(\epsilon_0 - \frac{1}{2}\tau_0)t}. \quad (27)$$

Вероятности обнаружения позитрония в состояниях $|3\rangle$ и $|4\rangle$ равны:

$$W_1 = |A_1(t)|^2 = |a_3(\lambda_3)|^2 e^{-\tau_1 t} + |a_3(\lambda_4)|^2 e^{-\tau_0 t} + 2e^{-\frac{\tau_1 + \tau_0}{2}t} \operatorname{Re}[a_3(\lambda_3)a_3^*(\lambda_4) e^{-i(\epsilon_1 - \epsilon_0)t}], \quad (28)$$

$$W_0 = |A_0(t)|^2 = a^2(x)|a_3(\lambda_3)|^2 e^{-\tau_1 t} + \frac{(2+a(x)x)^2}{x^2} |a_3(\lambda_4)|^2 e^{-\tau_0 t} - 2a(x) \frac{2+a(x)x}{x} e^{-\frac{\tau_1 + \tau_0}{2}t} \operatorname{Re}[a_3(\lambda_3)a_3^*(\lambda_4) e^{-i(\epsilon_1 - \epsilon_0)t}].$$

Все переменные в (27) и (28) относятся к СПП.

В формулах (28) отсутствует множитель, учитывающий диссоциацию A_{2e} . Однако этот множитель при напряжениях, меньших критических, практически не зависит от величины магнитного поля и поэтому не будет влиять на точность проверки теории относительности.

§2. Спиновое состояние A_{2e}

Для определения состояния пучка необходимо знать исходную волновую функцию, которая задается в базе a_a амплитудами $a_a(0)$.

Как отмечалось в 1.1, позитроний в СПП имеет определенную проекцию спина на импульс нейтрального пиона в этой же системе. Покажем, что для позитрониев с $\gamma \geq 10^3$ угол между импульсом пиона и напряженностью магнитного поля в СПП близок к $\pi/2$. Для этого рассмотрим распределение по углу Φ между импульсами π^0 -мезонов, от распада которых возник пучок позитрониев, и осью пучка.

Форма этих распределений зависит от энергии A_{2e} и от параметров, характеризующих угловые и импульсные распределения π^0 -мезонов. В таблице приведены максимальные и наиболее вероятные значения угла Φ в зависимости от величины импульса позитрония, а также наиболее вероятные значения импульсов π^0 -мезонов, от распада которых возникают A_{2e} с импульсом $p \pm \Delta p$.

Таблица

$P_{A_{2e}}$ (ГэВ/с)	$1 \pm 0,2$	$2 \pm 0,2$	$3 \pm 0,2$	$4 \pm 0,2$
Φ вероятн.	$3,6^\circ$	$2,1^\circ$	$1,5^\circ$	$1,0^\circ$
Φ макс.	5°	$2,1^\circ$	$1,5^\circ$	$1,2^\circ$
P_{π^0} (ГэВ/с)	1,5	2,5	3,5	4,5

Предполагалось, что дифференциальные сечения рождения описываются формулами работы¹⁰; начальная энергия протонов равна 70 ГэВ. Из таблицы следует, что в СПП компонента импульса пиона, лежащая в плоскости xy , равна ~ 100 МэВ/с, в то время как полный импульс мезона в той же системе равен ~ 9000 МэВ/с. Поэтому угол между импульсом пиона и напряженностью магнитного поля отличается от $\pi/2$ менее чем на $1,5^\circ$. Рассмотрим в СПП ортогональную систему координат (рис. 16). Магнитное поле направлено по оси x , ось z совпадает с осью пучка. Орт \vec{n} , определяемый углами θ и ϕ , задает направление, на которое позитроний имеет определенную проекцию спина $-\sigma_n = 1$ или $\sigma_n = -1$. Полагая, что $\sin \theta = \theta$ и пренебрегая членами порядка θ^2 , получаем:

$$|\Psi(0)\rangle = \frac{1}{2}(e^{-i\phi} + \theta)|1\rangle + \frac{1}{2}(e^{-i\phi} - \theta)|2\rangle - \frac{1}{\sqrt{2}}e^{-i\phi}|3\rangle$$

для $\sigma_n = +1$, (29)

$$|\Psi(0)\rangle = \frac{1}{2}(e^{i\phi} - \theta)|1\rangle + \frac{1}{2}(e^{i\phi} + \theta)|2\rangle + \frac{1}{\sqrt{2}}e^{i\phi}|3\rangle$$

для $\sigma_n = -1$.

В качестве оси квантования выбран вектор напряженности магнитного поля.

§3. Простые осцилляции интенсивности пучка позитрониев

Рассмотрим пучок A_{2e} и будем предполагать его чисто триплетным. Тогда подставляя в (25) $\rho_0 = \phi_0 = 0$ (отсутствие синглетного позитрония), из (27) получаем

$$A_1(t) = \frac{1}{2}\rho_1 \frac{1}{\sqrt{1+x^2}} e^{i\phi_1} e^{-i\epsilon_1 t} e^{-\frac{\Gamma_0 t}{4}} \left[\frac{1}{(\sqrt{1+x^2}+1)e^{-\frac{\Gamma_0 t}{4\sqrt{1+x^2}}} + \frac{1}{(\sqrt{1+x^2}-1)e^{-\frac{\Gamma_0 t}{4\sqrt{1+x^2}}}} e^{-i(\epsilon_0 - \epsilon_1)t} \right],$$

$$A_0(t) = \frac{1}{2}\rho_1 \frac{x}{\sqrt{1+x^2}} e^{i\phi_1} e^{-i\epsilon_1 t} e^{-\frac{\Gamma_0 t}{4}} \left[-e^{-\frac{\Gamma_0 t}{4\sqrt{1+x^2}}} + e^{-\frac{\Gamma_0 t}{4\sqrt{1+x^2}}} \times e^{-i(\epsilon_0 - \epsilon_1)t} \right].$$

(30)

При этом считалось

$$\Gamma_0(\sqrt{1+x^2} - 1) \gg \Gamma_1(\sqrt{1+x^2} + 1). \quad (31)$$

В дальнейшем нас будут интересовать значения $x \sim 1$, для которых соотношение (31) хорошо выполняется. Для вероятностей обнаружения позитрония в триплетном и синглетном состояниях с учетом (31) имеем:

$$W_1 = |A_1(t)|^2 = \frac{1}{4} \rho_1^2 \frac{x^2}{1+x^2} e^{-\frac{\Gamma_0 t}{2}} \left[\frac{(\sqrt{1+x^2} + 1)^2}{x^2} e^{\frac{\Gamma_0 t}{2\sqrt{1+x^2}}} + \frac{(\sqrt{1+x^2} - 1)^2}{x^2} e^{-\frac{\Gamma_0 t}{2\sqrt{1+x^2}}} + 2 \cos(\epsilon_0 - \epsilon_1)t \right], \quad (32)$$

$$W_0 = |A_0(t)|^2 = \frac{1}{4} \rho_1^2 \frac{x^2}{1+x^2} \cdot e^{-\frac{\Gamma_0 t}{2}} \left[e^{\frac{\Gamma_0 t}{2\sqrt{1+x^2}}} + e^{-\frac{\Gamma_0 t}{2\sqrt{1+x^2}}} - 2 \cos(\epsilon_0 - \epsilon_1)t \right].$$

Зависимость функции $|A_1(t)|^2$ от напряженности магнитного поля в лабораторной системе координат представлена на рис. 2. Из него следует, что вероятность обнаружения позитрония в триплетном состоянии осциллирует, причем период осцилляций уменьшается с увеличением расстояния S , на котором приложено магнитное поле.

Очевидно, что когда W_1 достигает максимального значения, W_0 близко к минимуму. Если после магнитного поля имеется свободный промежуток длиной ~ 40 м, то позитронии в триплетном состоянии на таком расстоянии не распадутся, в то время как интенсивность A_{2e} в синглетном состоянии существенно уменьшится, так как при $\gamma = 10^3$ величина $c\tau$ равна 36 м. Поэтому число позитрониев, зарегистрированное магнитным спектрометром после распадной базы, будет зависеть от соотношения между A_{2e} в триплетном и синглетном состояниях после катушки S и будет осциллировать с тем же периодом, что и W_1 , если пренебречь той долей A_{2e} в синглетном состоянии, которая остается после распадного промежутка.

При фиксированных значениях γ и S интенсивность пучка зависит только от одного параметра: напряженности магнитного поля. Такие осцилляции будут в дальнейшем называться простыми.

Можно показать, что при $x \sim 1$ экстремумы функций $|A_1(t)|^2$ и $|A_0(t)|^2$ практически совпадают с экстремумами косинуса. В частности, вероятность обнаружения позитрония в триплетном состоянии, а, следовательно, и интенсивность пучка будет максимальна при значениях магнитных полей в лабораторной системе H_n , удовлетворяющих уравнению:

$$(\epsilon_1 - \epsilon_0)t = 2\pi n,$$

$$H_n = \frac{\pi n c}{8\mu_0 S} \sqrt{1 - \left(\frac{\Delta E S}{2\pi n \gamma c} \right)^2}. \quad (31)$$

Здесь S — расстояние, на котором действует магнитное поле в лабораторной системе, а n принимает целые значения от нуля до n_{\max} , которое соответствует максимальному магнитному полю, не разваливающему позитроний. Из формулы (7) следует, что вероятность развала определяется величиной ξ , равной

$$\xi = \gamma H_0. \quad (32)$$

Из (31) и (32) сразу получается, что n_{\max} удовлетворяет следующему соотношению:

$$\frac{n_{\max} \cdot \gamma}{S} = \frac{1}{\pi c} \sqrt{(\mu_0 g \xi)^2 + \left(\frac{\Delta E}{2} \right)^2} \approx \frac{\mu_0 g \xi}{\pi c}. \quad (33)$$

Для катушки длиной 10 м, $\gamma = 10^3$ и $H_0 = 130$ Э

$$n_{\max} = 27. \quad (34)$$

Расстояние между двумя соседними пиками равно ~ 5 Э. Эта цифра дает представление о точности, с которой может быть измерена напряженность магнитного поля, соответствующая n -му максимуму. Если считать дисперсию гауссовой, то на статистике $\sim 10^4$ событий H_n может

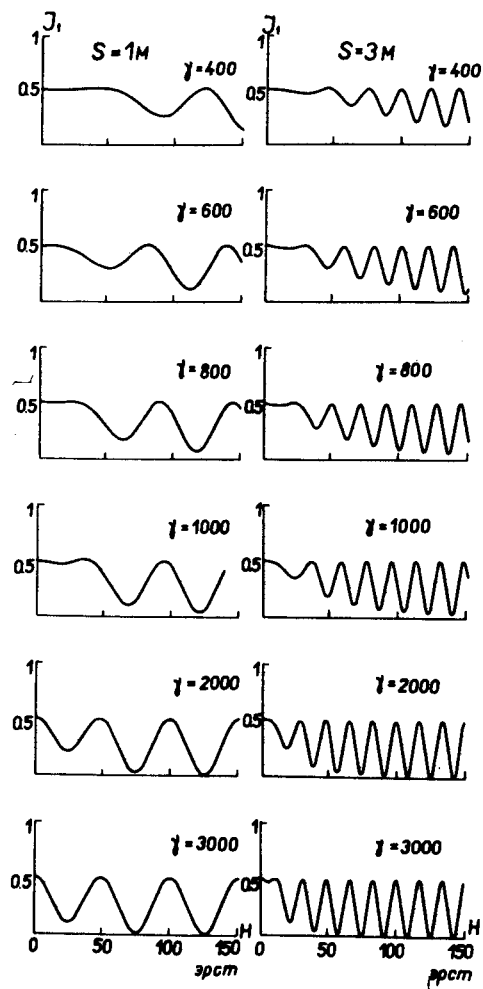


Рис. 2. Зависимость интенсивности пучка релятивистских позитрониев от величины магнитного поля в лабораторной системе координат. Вычисления сделаны для катушки длиной 1 метр (левый столбец) и 3 метра (правый столбец). Значения гамма-факторов частиц пучка указаны в верхней части каждого рисунка. Интенсивность в максимуме равна 0,5, так как осциллирует половина пучковых частиц.

быть измерено с точностью $10^{-2}\%$, что дает для относительной погрешности величину

$$\frac{\delta N_{27}}{N_{27}} = 8 \cdot 10^{-5} \quad (35)$$

Оптимизация процедуры измерения, увеличение длины катушки и статистики позволяют уменьшить относительную погрешность в несколько раз.

§4. Оценка точности проверки преобразований Лоренца для времени и компонент электромагнитного поля

Значение напряженности магнитного поля, при которой интенсивность пучка достигает максимума, рассчитывается только с помощью квантовой механики и преобразований Лоренца для времени и компонент электромагнитного поля. Поэтому сопоставление величины N_n , измеренной в лабораторной системе координат, с вычисленной является экспериментальной проверкой преобразований специальной теории относительности при очень больших значениях гамма-факторов. В §3 была сделана оценка точности измерения N_n . Рассмотрим погрешность при вычислении этой величины, обусловленную неточным знанием параметров канала и пучка. В формуле (31) второй член подкоренного выражения зависит от атомного гамма-фактора, который определяется по развалу с относительной точностью 10^{-3} . Поэтому для уменьшения вклада погрешности этой величины измерение N_n нужно вести при n , близких к n_{max} . В этом случае

$$\frac{\delta N_n}{N_n} \approx 0,07 \sqrt{\left(\frac{\delta \gamma}{\gamma}\right)^2 + \left(\frac{\delta \Delta E}{\Delta E}\right)^2} \approx 0,07 \frac{\delta \gamma}{\gamma} \approx 6 \cdot 10^{-5} \quad (36)$$

Следует подчеркнуть, что слабая зависимость N_n от гамма-фактора является прямым следствием формы преобразований Лоренца для времени и компонент электромагнитного поля. Это сразу видно, если записать (31) в переменных СПП:

$$\tilde{H}_n = \frac{\pi n}{g\mu_0 t} \sqrt{1 - \left(\frac{\Delta E t}{2\pi n}\right)^2}. \quad (37)$$

Из (37) следует, что отсутствие зависимости от γ в основном члене обусловлено тем, что при переходе из лабораторной системы

$$\tilde{H}_n = \gamma H_n, \quad t = \frac{t_{\text{лаборат.}}}{\gamma}. \quad (38)$$

Если бы позитроний разваливался при очень больших напряженностях магнитного поля (n_{max} велико), то в (31) зависимость от гамма-фактора исчезала бы, что приводило бы к одним и тем же значениям H_n для позитрониев с разными импульсами. В этом случае отклонение от преобразований Лоренца проявилось бы в отличии значений H_n для позитрониев разных импульсов.

Вторым параметром, от которого зависит значение H_n , если его находить как экстремум W_1 , является распадная ширина Γ_0 . Для катушки длиной 10 м, $\gamma = 10^3$ и $H = 130$ Э

$$\frac{\Gamma_0 t}{2\sqrt{1+x^2}} \approx 4 \cdot 10^{-2}. \quad (39)$$

Поэтому экспоненты в (32) можно разложить и оставить только два первых члена. Если записать точные значения x_n , соответствующие максимумам интенсивности триплетных позитрониев в форме

$$x_n = x_{0n} + \epsilon_n, \quad (40)$$

где x_{0n} удовлетворяет уравнению (31), то при n , близких к n_{max} , имеем

$$\frac{\epsilon_n}{x_{0n}} = -\frac{\Gamma_0 t}{2\pi^2 n^2} \approx -2 \cdot 10^{-5}. \quad (43)$$

Поэтому ошибка в Γ_0 , равная в настоящее время 1,5%^{/11/}, не влияет на расчетную величину H_n .

Основная неопределенность в расчете H_n позникает вследствие краевых эффектов, которые не учитывались

при выводе формулы (31). Для узкой и длинной катушки это будет поправка, введение которой наиболее целесообразно в численном виде.

В заключение я выражаю глубокую благодарность С.М.Биленькому, С.С.Герштейну, В.И.Любошицу, В.А.Никитину, М.И.Подгорецкому, Б.М.Понтекорво и М.М.Широкову за обсуждение и ценные замечания. Я также признателен В.В.Ализаде и О.Е.Горчакову за выполнение численных расчетов.

Литература

1. Л.Л.Неменов. ЯФ, XV, 1047 (1972).
2. Л.Л.Неменов. ЯФ, XVI, 125 (1972).
3. Г.В.Меледин, В.Г.Сербо, А.К.Сливков. Письма в ЖЭТФ, 13, 98 (1971).
4. Л.Д.Ландау, Е.М.Лифшиц. Квантовая механика, стр. 341, Наука, М., 1974.
5. Б.М.Смирнов, М.И.Чибисов. ЖЭТФ, 49, 841 (1965).
6. V.F.Weisskopf, E.P.Wigner. Z.Physik, 63, 54 (1930); 65, 18 (1930).
7. С.М.Sommerfield. Ann.Phys., 5, 26 (1958); I.Aldins et al. Phys.Rev.Lett., 23, 441 (1969).
8. В.Б.Берестецкий. ЖЭТФ, 19, 1130 (1949).
9. O.Halpern. Phys.Rev., 94, 904 (1954).
10. В.Н.Фаломешкин. ЯФ, 15, 383 (1972).
11. E.D.Theriot et al. Phys.Rev., A2, 707 (1970).

Рукопись поступила в издательский отдел
2 сентября 1975 года.